

МЕХАНИЗМ АССОЦИИРОВАННОГО РОЖДЕНИЯ ШАРМА МНОГОМЮОННЫЕ СОБЫТИЯ В НЕЙТРИНО-НУКЛОННОМ РАССЕЯНИИ

Э.А.Чобан

Предложен механизм ассоциированного рождения D , \bar{D} -мезонов в $\nu_\mu N^-$, $\bar{\nu}_\mu N^+$ -взаимодействиях, позволяющий единым образом объяснить события с образованием тримюонов неэлектромагнитной природы и однозарядных димюонов.

Наблюдение многомюонных событий в нейтрино-нуклонном рассеянии [1 — 5] вызвало интерес в связи с попыткой их объяснения за счет образования и распада новых тяжелых лептонов или новых кварков [6 — 9]. Однако из результатов работы [2], следует, что механизмом распада тяжелых лептонов (M^-, M^0) может объясняться менее 17% тримюонов, а распад тяжелых кварков (b, t) дает вклад в 3μ -события менее 10%. Для объяснения многомюонных событий был предложен электромагнитный механизм [10 — 13], заключающийся в том, что в процессе с заряженным током кварки или мюон испускают тормозную $\mu^-\mu^+$ -пару. По оценкам различных авторов [10 — 12], этот механизм дает отношение числа 3μ -событий к числу одномюонных событий $R_{3\mu}^\nu \equiv \sigma(\nu_\mu N \rightarrow \mu^-\mu^+\mu^+ + \dots) / \sigma(\nu_\mu N \rightarrow \mu^-X) \approx (1 \pm 2) \cdot 10^{-5}$, что согласуется с экспериментальной оценкой электромагнитного вклада $R_{3\mu}^\nu = (0,8 \pm 0,4) \cdot 10^{-5}$ [2]. В то же время электромагнитный механизм не может объяснить событий с образованием однозарядных димюонов, ибо предсказывает $R_{\mu\mu}^\nu \equiv \sigma(\nu_\mu N \rightarrow \mu^-\mu^- + \dots) / \sigma(\nu_\mu N \rightarrow \mu^-X) < R_{3\mu}^\nu$, что явно противоречит экспериментальному отношению $R_{\mu\mu}^\nu / R_{3\mu}^\nu \sim 10$ [1, 2, 4].

Для понимания механизма образования однозарядных димюонов и тримюонов необходимо учесть те закономерности, которые следуют из имеющихся опытных данных [1 — 5]. Если обозначить быстрый мюон в реакции $\nu_\mu N \rightarrow \mu^-\mu^-\mu^+ + \dots$ через μ_1^- , а медленные — через μ_2^-, μ_3^+ (соответственно в $\mu^-\mu^-$ -событиях это будут μ_1^-, μ_2^-), то средняя энергия $\langle E_{\mu_1^-} \rangle \gg \langle E_{\mu_2^-} \rangle$ (или $\langle E_{\mu_3^+} \rangle$ для 3μ -событий, в которых $\langle E_{\mu_2^-} \rangle \sim \langle E_{\mu_3^+} \rangle$). Инвариантные массы систем $\mu_1^-\mu_2^-\mu_3^+, \mu_1^-\mu_2^-, \mu_1^-\mu_3^+$

одного порядка и много больше инвариантной массы системы $\mu_2^-\mu_3^+$. Распределения по азимутальному углу между импульсами μ_1^- и μ_2^- , μ_1^- и μ_3^+ , μ_2^- и μ_3^+ в плоскости, перпендикулярной импульсу начального нейтрино, имеют максимум при значении 180° как в случае $\mu^-\mu^-$, так и в случае 3μ -событий. Эти закономерности позволяют сделать вывод о том, что в рассматриваемых событиях μ_1^- образуется в лептонной, а μ_2^- (и μ_3^+ в тримюонах) — в адронной вершинах, причем μ_2^-, μ_3^+ сильно скоррелированы. Электромагнитный механизм хорошо описывает указанные выше особенности 3μ -событий. Однако из работы [2] следует, что доля тримюонов $R_{3\mu}^\nu = (2,2 \pm 0,4) \cdot 10^{-5}$ имеет неэлектромагнитную природу. Поэтому величина $R_{\mu\mu}^\nu / R_{3\mu}^\nu \sim 10$, а также аналогия в

распределениях по энергиям и азимутальным углам $\mu^+ \mu^-$ в $3\mu^-$ и $\mu^- \mu^-$ -событиях наводят на мысль, что эта доля тримюонов и однозарядные димюоны образуются в результате действия одного и того же механизма, связанного с рождением шармованных частиц. При этом в зависимости от того, по какому каналу (лептонному или адронному) распадается шармованный адрон, возникают либо тримюоны, либо однозарядные димюоны.

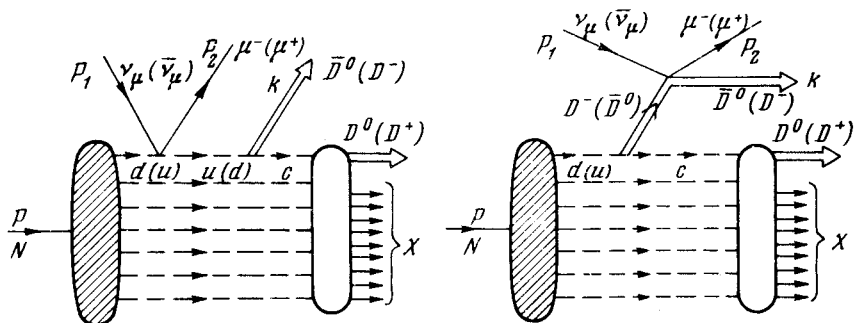


Рис. 1. Диаграммы процессов (1) и (2) в кварк-партонной модели

В настоящей работе рассматривается механизм ассоциированного рождения D , \bar{D} -мезонов в процессах:

$$\nu_{\mu} + N \rightarrow \mu^{-} + \bar{D}^0 + D^0 + X, \quad (1)$$

$$\bar{\nu}_{\mu} + N \rightarrow \mu^{+} + D^{-} + D^{+} + X, \quad (2)$$

где X обозначает произвольное адронное состояние. Диаграммы процессов (1) и (2) приведены на рис. 1, причем предполагается, что переход виртуального легкого кварка в реальные c -кварк и \bar{D} -мезон не сопровождается испусканием других адронов, а c -кварк в дальнейшем с достоверностью переходит в D -мезон. Используя обозначения на рис. 1 и вводя переменные $x = -(q^2/2qp)$, $y = 1 - (E'/E)$, $\eta = -(\tilde{q}^2/2\tilde{q}p)$, $z = (E_{\bar{D}}/E_q)$ где $q = p_1 - p_2$, $\tilde{q} = q - k$, E и E' -энергии $\nu_{\mu} (\bar{\nu}_{\mu})$ и $\mu^{-} (\mu^{+})$ в лабораторной системе, $E_{\bar{D}}$ и E_q - энергии \bar{D} -мезона и легкого кварка в брейтовской системе, получим дифференциальные сечения процессов (1), (2), проинтегрированные по импульсам всех адронов, кроме \bar{D} -мезона, в следующем виде:

$$\frac{d\sigma}{dx dy dz} = \left(\frac{G^2 M E}{\pi} \right) \frac{\gamma x [u(x) + d(x)]}{32 \pi^2 \eta^2 (\eta - 2)^2 \text{sign}(\eta - 2)} \left\{ \frac{2 \eta^2 F(y)}{\eta - 1} (\eta - 2 - z) + \frac{\eta(\eta - 2)^2 (1 - y)}{(\eta z - 2\epsilon)} + z \eta^2 (1 - y) - (\eta - 2 - z) [\pm y (2 - y) \eta + y^2 + 6(1 - y)] \right\}. \quad (3)$$

Здесь $u(x)$, $d(x)$ — фейнмановские кварк-партонные распределения, знаки (\pm) относятся соответственно к процессам (1) и (2), функция $F(y)$ имеет вид

$$F(y) = \begin{cases} 1, & \nu_{\mu} N \rightarrow \mu^{-} \bar{D}^{\circ} D^{\circ} X \\ (1-y)^2, & \bar{\nu}_{\mu} N \rightarrow \mu^{+} D^{-} D^{+} X \end{cases}, \quad (4)$$

а область изменения η и z определяется неравенствами:

$$1 + \Delta \leq \eta \leq \frac{1}{x} - \delta, \quad \eta - 2 + \frac{\epsilon}{\eta - 1} \leq z \leq \text{при } 1 + \Delta \leq \eta \leq 2; \quad \epsilon \leq z \leq \eta - 2 + \frac{\epsilon}{\eta - 1} \quad \text{при } 2 \leq \eta \leq \frac{1}{x} - \delta. \quad (5)$$

В формулах (3), (5) величины Δ , δ , $\epsilon \ll 1$ определяются равенствами:

$$\Delta = m_D (m_D + 2 m_c) / 2 M E x y, \quad \delta = m_c^2 / 2 M E x y, \quad \epsilon = m_D^2 / 2 M E x y, \quad (6)$$

где M , m_D , m_c — массы нуклона, D -мезона и c -кварка. При выводе формулы (3) \bar{D} -мезон предполагался точечным, вклады порядка m_D^2/ME , m_c^2/ME отбрасывались, а константа, стоящая в вершине перехода $u(d) \rightarrow \bar{D}^{\circ} (D^{-})_c$, обозначена через \sqrt{y} , причем y должна быть определена из эксперимента.

Если в формуле (3) $\eta \rightarrow 1$ (с условием, что $\eta - 1 \gg \epsilon + \Delta$), а $z \sim 1$, то наибольший вклад дает первое слагаемое. Оно соответствует обычному "партонному" вкладу в $\sigma(\nu_{\mu} (\bar{\nu}_{\mu}) N \rightarrow \mu^{-} (\mu^{+}) X)$ с последующей фрагментацией $u(d) \rightarrow \bar{D}^{\circ} (D^{-})_c$, причем получившаяся функция фрагментации пропорциональна $\eta - 2 - z$, что, учитывая $\eta \rightarrow 1$ и $z = -|z|$, согласуется с обычно используемой функцией фрагментации $D(|z|) \sim (1 - |z|)^n$, где $n = 1, 2$, для описания $\mu^{-} \mu^{+}$ -событий. При $\eta \sim 1$, $z \sim \epsilon$ в формуле (3) доминирует "непартонный" вклад, который не описывается данным выше способом. Однако при вычислении сечения процессов (1), (2) он приводит к не менее существенному вкладу, чем "партонный". Интегрируя дифференциальное сечение (3) по z и η в области (5) с учетом равенств (6), получим:

$$\frac{d\sigma}{dx dy} = \left(\frac{G^2 M E}{\pi} \right) \frac{\gamma}{64 \pi^2} \left[u(x) + d(x) \right] \left\{ 2x F(y) \ln \frac{[2 M E y (1-x) - m_c^2]}{m_D (m_D + 2 m_c)} + 2x(1-x)(1-y) \ln \frac{2 M E x y}{m_D^2 x} + [2x(1-y) \pm y(2-y)] x \ln x + (1-x) \times \right. \\ \left. \times [1 - y - x(y-2)^2] \right\}, \quad (7)$$

где $F(y)$ определяется так же, как и в (4), а область применимости формулы (7) обусловлена неравенствами:

$$x y \gg m_D^2 / 2 M E, \quad (1-x) y \gg (m_D + m_c)^2 / 2 M E, \quad (8)$$

следующими из того, что пологарифмические выражения в (7) должны быть много больше единицы.

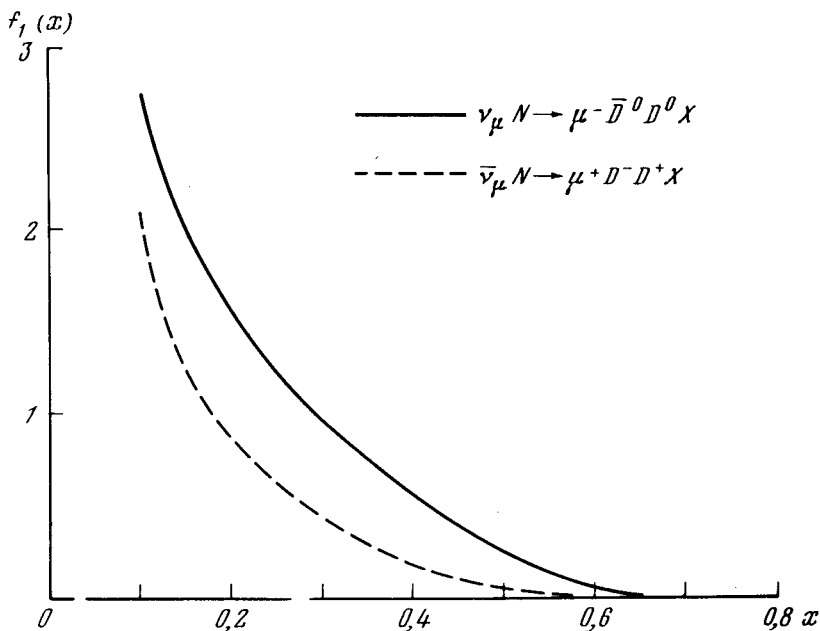


Рис.2. Зависимость величины $f_1(x) = \frac{d\sigma}{dx} \left/ \left(\frac{G^2 ME}{\pi} \right) \frac{\gamma}{64 \pi^2} \right.$ от переменной x для процессов (1) и (2)

Получим x -, y -распределения, используя формулу (7) и параметризации $u(x)$ -, $d(x)$ -функций из работы [13]. При численном интегрировании берем $x \geq 0,1$ в силу того, что в области $x < 0,1$ доминирует диффракционный механизм, рассмотренный в работе [14], а при $x \geq 0,1$ его вкладом можно пренебречь. На рис.2 и 3 приведены усредненные по спектру CDHS (при $\langle E \rangle \approx 50$ Гэв) x -, y -распределения в области (8). С помощью этих распределений находим:

$$\langle x \rangle_{\nu} = 0,24; \langle y \rangle_{\nu} = 0,71; \langle x \rangle_{\bar{\nu}} = 0,21; \langle y \rangle_{\bar{\nu}} = 0,59 \quad (9)$$

Соответствующие экспериментальные величины для 3μ -событий равны [2]:

$$\langle x \rangle_{\nu} = 0,21 \pm 0,02; \langle y \rangle_{\nu} = 0,69 \pm 0,02, \quad (10)$$

а из гистограмм, приведенных в [1] для $\mu^{\mp}\mu^{\mp}$ -событий, следует

$$\langle x \rangle_{\nu} = 0,28 \pm 0,15; \langle y \rangle_{\nu} = 0,59 \pm 0,22; \langle x \rangle_{\bar{\nu}} = 0,21 \pm 0,17;$$

$$\langle y \rangle_{\bar{\nu}} = 0,45 \pm 0,31. \quad (11)$$

Мы видим, что в рамках погрешностей наши результаты (9) совпадают с опытными величинами (10), (11).

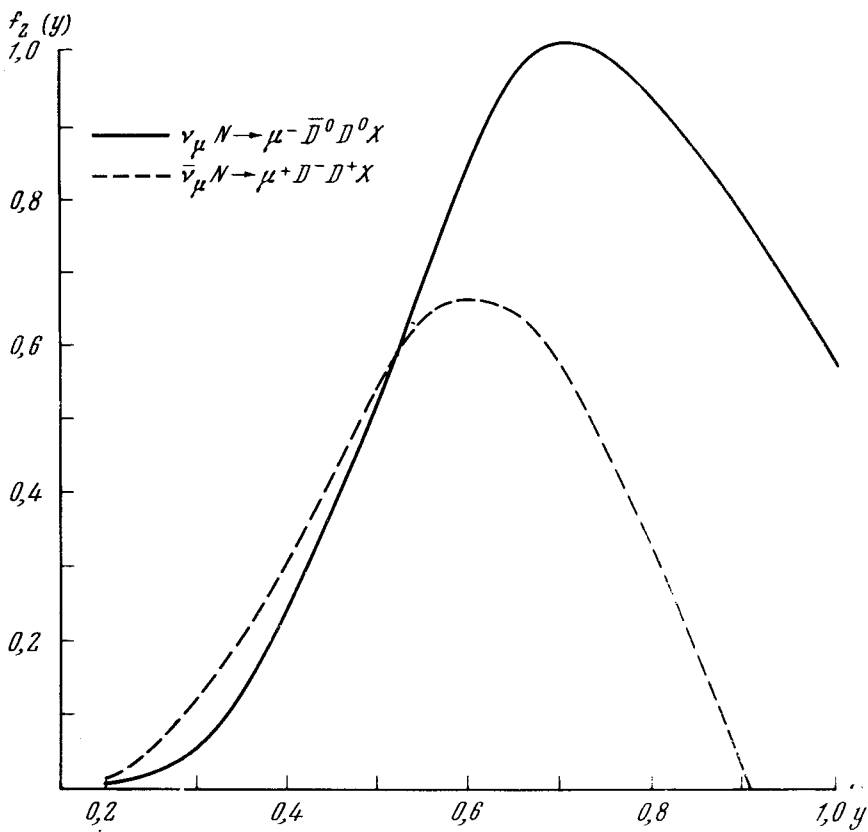


Рис.3. Зависимость величины $f_2(y) = \frac{d\sigma}{dy} / \left(\frac{G^2 ME}{\pi} \right) \frac{y}{64\pi^2}$ от переменной y для процессов (1) и (2)

Используя графики на рис.2 и 3, получим полные сечения процессов (1) и (2) в виде :

$$\begin{aligned} \sigma(\nu_\mu N \rightarrow \mu^- \bar{D}^0 D^0 X) &= \left(\frac{G^2 ME}{\pi} \right) \frac{y \cdot 0,47}{64 \pi^2}; \quad \sigma(\bar{\nu}_\mu N \rightarrow \mu^+ D^- D^+ X) = \\ &= \left(\frac{G^2 ME}{\pi} \right) \frac{y \cdot 0,25}{64 \pi^2}. \end{aligned} \quad (12)$$

Найдем y из данных по однозарядным димьюонам [1, 3] в $\nu_\mu N$ -рассеянии. Учитывая формулу (12), данные работы [15] по $\sigma(\nu_\mu N \rightarrow \mu^- X)$, экспериментальные величины $R_{\mu\mu}^{\nu} = (3 \pm 2) \cdot 10^{-4}$ [1], $R_{\mu\mu}^{\nu} = (4 \pm 3) \cdot 10^{-4}$ [3], общепринятый брэнчинг $B(\bar{D}^0 \rightarrow \mu^+ + \dots) \approx 0,1$ и предполагая, что вклад в $R_{\mu\mu}^{\nu}$ от D , \bar{D} и D^* , \bar{D}^* приблизительно одинаков, получим средневзвешенное по данным [1, 3] y в виде

$$y = 1,1 \pm 0,8. \quad (13)$$

Это значение y позволяет дать оценку величин $R_{\mu\mu}^{\bar{\nu}}$, $R_{3\mu}^{\nu}$, $R_{3\mu}^{\bar{\nu}}$, предсказываемых рассматриваемым механизмом. Учитывая разности (12),

(13) и данные [15] по $\sigma(\bar{\nu}_\mu N \rightarrow \mu^+ X)$, получим

$$R_{\mu\mu}^{\bar{\nu}} = (2,0 \pm 1,4) \cdot 10^{-4}; R_{3\mu}^{\nu} = (2,0 \pm 1,4) \cdot 10^{-5}; R_{3\mu}^{\bar{\nu}} = (2,2 \pm 0,9) \cdot 10^{-5}. \quad (14)$$

Из выражения (14) следует, что предсказываемое $R_{3\mu}^{\nu}$ согласуется с оценкой для триюонов неэлектромагнитной природы, сделанной в работе [2] и приведенной выше.

Автор глубоко благодарен В.М.Шехтеру за многочисленные консультации, стимулирующую критику и обсуждение результатов.

Поступила в редакцию
11 июня 1979 г.

Литература

- [1] M.Holder et al. Phys. Lett., B70, 396, 1977.
- [2] T.Hansl et al. Nucl. Phys., B142, 331, 1978; Phys. Lett., B77, 114, 1978.
- [3] A.Benvenuti et al. Phys. Rev. Lett., 38, 1110, 1183, 1977; 40, 488, 1978; 41, 725, 1978.
- [4] A.K.Mann. Preprint University of Pennsylvania, 1978.
- [5] B.C.Barish et al. Phys. Rev. Lett., 38, 577, 1977.
- [6] C.H.Albright, J.Smith, J.A.M.Vermaseren. Phys. Rev. Lett., 38, 1187, 1977; Phys. Rev., D16, 3182, 3204, 1977; D18, 108, 1978.
- [7] V.Barger et al., Phys. Rev.Lett., 38, 1190, 1977; Phys. Rev., D16, 2141, 3170, 1977.
- [8] L.M.Sehgal, P.M.Zerwas. Phys. Rev., D16, 2379, 1977.
- [9] A.Soni. Phys. Lett., B71, 435, 1977.
- [10] R.M.Barnett, L.N.Chang, N.Weiss. Phys. Rev., D17, 2266, 1978.
- [11] V.Barger, T.Gottschalk, R.J.N.Phillips. Phys. Rev., D17, 2284, 1978.
- [12] J. Smith, J. A.M.Vermaseren. Phys. Rev., D17, 2288, 1978.
- [13] R.P.Feynman, R.D.Field. Phys. Rev., D15, 2590, 1977.
- [14] F.Bletzacker, H.T.Nieh, A.Soni. Phys. Rev. Lett., 38, 1241, 1977.
- [15] J.C.H. de Groot, T.Hansl et al. CERN-preprint, 1978.